

Eingabe: Farbmétrisches Offset-Reflektiv-System ORS18

für Buntton $h^* = lab^*h = 96/360 = 0.268$

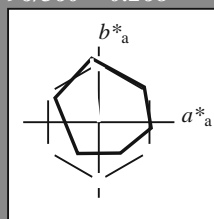
lab^*tch und lab^*nch

D65: Buntton Y

LCH*Ma: 91 85 96

olv*Ma: 1.0 1.0 0.0

Dreiecks-Helligkeit t^*



%Umfang

$u^*_{rel} = 85$

%Regularität

$g^*_{H,rel} = 57$

$g^*_{C,rel} = 59$

ORS18; adaptierte CIELAB-Daten

| | $L^*=L^*_a$ | a^*_a | b^*_a | $C^*_{ab,a}$ | $h^*_{ab,a}$ |
|------------------|-------------|---------|---------|--------------|--------------|
| O _{Ma} | 51.74 | 60.16 | 46.48 | 76.02 | 38 |
| Y _{Ma} | 90.77 | -9.44 | 84.41 | 84.94 | 96 |
| L _{Ma} | 54.46 | -57.8 | 32.16 | 66.15 | 151 |
| C _{Ma} | 61.56 | -27.91 | -41.41 | 49.95 | 236 |
| V _{Ma} | 31.3 | 28.61 | -40.85 | 49.88 | 305 |
| M _{Ma} | 51.91 | 69.26 | -7.69 | 69.68 | 354 |
| N _{Ma} | 24.2 | 0.0 | 0.0 | 0.0 | 0 |
| W _{Ma} | 95.41 | 0.0 | 0.0 | 0.0 | 0 |
| R _{CIE} | 44.36 | 53.97 | 24.82 | 59.4 | 25 |
| J _{CIE} | 82.39 | -1.99 | 62.34 | 62.37 | 92 |
| G _{CIE} | 55.68 | -38.87 | 10.82 | 40.36 | 164 |
| B _{CIE} | 35.76 | 1.06 | -43.09 | 43.11 | 271 |

Ausgabe: Farbmétrisches Offset-Reflektiv-System ORS18

für Buntton $h^* = lab^*h = 96/360 = 0.268$

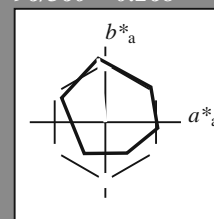
lab^*tch und lab^*nch

D65: Buntton Y

LCH*Ma: 91 85 96

olv*Ma: 1.0 1.0 0.0

Dreiecks-Helligkeit t^*



%Umfang

$u^*_{rel} = 85$

%Regularität

$g^*_{H,rel} = 57$

$g^*_{C,rel} = 59$

ORS18; adaptierte CIELAB-Daten

| | $L^*=L^*_a$ | a^*_a | b^*_a | $C^*_{ab,a}$ | $h^*_{ab,a}$ |
|------|-------------|---------|---------|--------------|--------------|
| R | 51.79 | 63.09 | 29.02 | 69.44 | 25 |
| R25J | 53.73 | 56.6 | 48.42 | 74.48 | 41 |
| R50J | 65.47 | 35.67 | 59.82 | 69.65 | 59 |
| R75J | 76.51 | 15.98 | 70.55 | 72.34 | 77 |
| J | 86.93 | -2.58 | 80.67 | 80.71 | 92 |
| J25G | 84.92 | -17.23 | 75.99 | 77.92 | 103 |
| J50G | 73.11 | -32.96 | 59.0 | 67.58 | 119 |
| J75G | 60.06 | -50.34 | 40.22 | 64.44 | 141 |
| G | 56.21 | -50.44 | 14.04 | 52.36 | 164 |
| G25B | 57.95 | -43.12 | -3.96 | 43.31 | 185 |
| G50B | 60.3 | -33.22 | -28.35 | 43.68 | 220 |
| G75B | 53.27 | -12.42 | -41.26 | 43.1 | 253 |
| B | 46.07 | 1.01 | -41.12 | 41.15 | 271 |
| B25R | 34.63 | 22.38 | -40.91 | 46.64 | 299 |
| B50R | 45.15 | 55.92 | -18.57 | 58.93 | 342 |
| B75R | 51.85 | 65.84 | 12.67 | 67.04 | 11 |

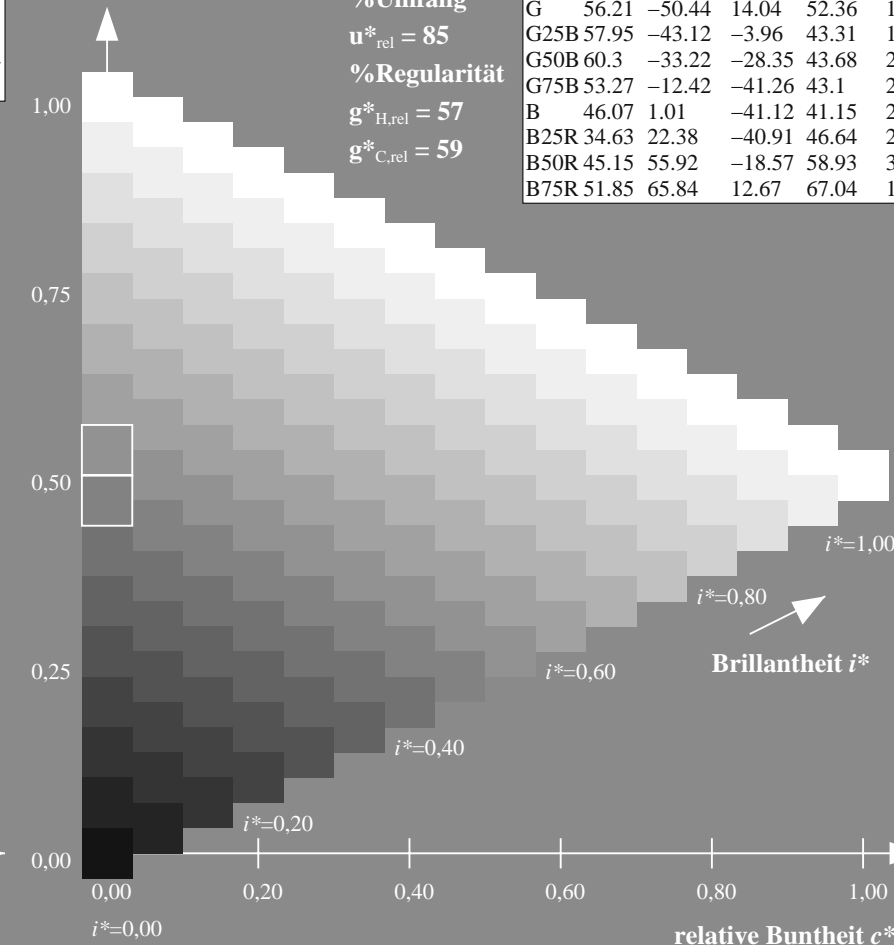
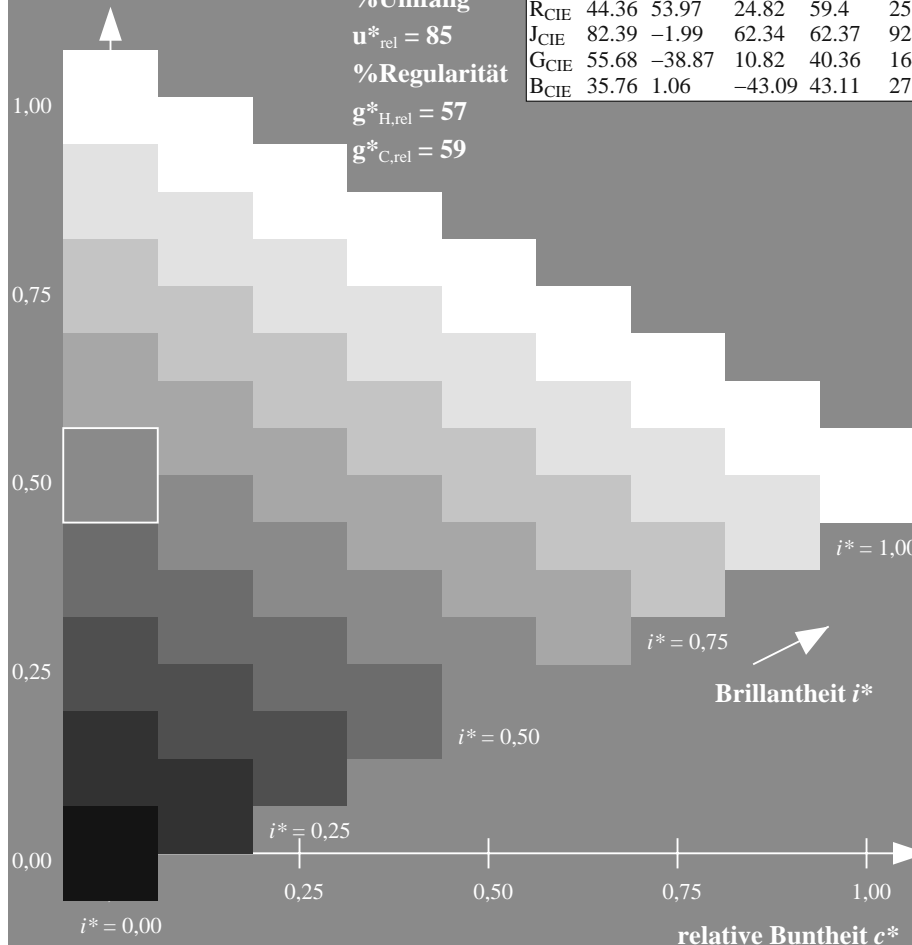
%Umfang

$u^*_{rel} = 85$

%Regularität

$g^*_{H,rel} = 57$

$g^*_{C,rel} = 59$



ZG880-7N, 9stufige Reihen für konstanten CIELAB Buntton 96/360 = 0.268 (links)

Seite 2/10

ZG880-7N, 16stufige Reihen für konstanten CIELAB Buntton 96/360 = 0.268 (rechts)

n

BAM-Prüfvorlage ZG88; Farbmétrik-Systeme, Seite 2/10

D65: 9 und 16stufige Farbreihen für 10 Bunttöne

Eingabe: $rgb / cmy0\ set(rgb/cmyk)color$

Ausgabe: $->cmy5*\ setcmykcolor$

Eingabe: Farbmétrisches Offset-Reflektiv-System ORS18

für Buntton $h^* = lab^*h = 151/360 = 0.419$

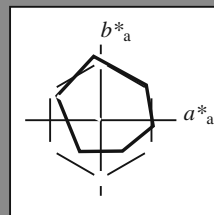
lab^*tch und lab^*nch

D65: Buntton L

LCH*Ma: 54 66 151

olv*Ma: 0.0 1.0 0.0

Dreiecks-Helligkeit t^*



%Umfang

$u^*_{rel} = 85$

%Regularität

$g^*_{H,rel} = 57$

$g^*_{C,rel} = 59$

ORS18; adaptierte CIELAB-Daten

| | $L^*=L^*_a$ | a^*_a | b^*_a | $C^*_{ab,a}$ | $h^*_{ab,a}$ |
|------------------|-------------|---------|---------|--------------|--------------|
| O _{Ma} | 51.74 | 60.16 | 46.48 | 76.02 | 38 |
| Y _{Ma} | 90.77 | -9.44 | 84.41 | 84.94 | 96 |
| L _{Ma} | 54.46 | -57.8 | 32.16 | 66.15 | 151 |
| C _{Ma} | 61.56 | -27.91 | -41.41 | 49.95 | 236 |
| V _{Ma} | 31.3 | 28.61 | -40.85 | 49.88 | 305 |
| M _{Ma} | 51.91 | 69.26 | -7.69 | 69.68 | 354 |
| N _{Ma} | 24.2 | 0.0 | 0.0 | 0.0 | 0 |
| W _{Ma} | 95.41 | 0.0 | 0.0 | 0.0 | 0 |
| R _{CIE} | 44.36 | 53.97 | 24.82 | 59.4 | 25 |
| J _{CIE} | 82.39 | -1.99 | 62.34 | 62.37 | 92 |
| G _{CIE} | 55.68 | -38.87 | 10.82 | 40.36 | 164 |
| B _{CIE} | 35.76 | 1.06 | -43.09 | 43.11 | 271 |

Ausgabe: Farbmétrisches Offset-Reflektiv-System ORS18

für Buntton $h^* = lab^*h = 151/360 = 0.419$

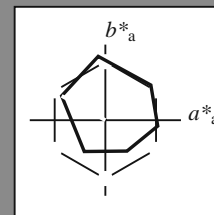
lab^*tch und lab^*nch

D65: Buntton L

LCH*Ma: 54 66 151

olv*Ma: 0.0 1.0 0.0

Dreiecks-Helligkeit t^*



%Umfang

$u^*_{rel} = 85$

%Regularität

$g^*_{H,rel} = 57$

$g^*_{C,rel} = 59$

ORS18; adaptierte CIELAB-Daten

| | $L^*=L^*_a$ | a^*_a | b^*_a | $C^*_{ab,a}$ | $h^*_{ab,a}$ |
|------|-------------|---------|---------|--------------|--------------|
| R | 51.79 | 63.09 | 29.02 | 69.44 | 25 |
| R25J | 53.73 | 56.6 | 48.42 | 74.48 | 41 |
| R50J | 65.47 | 35.67 | 59.82 | 69.65 | 59 |
| R75J | 76.51 | 15.98 | 70.55 | 72.34 | 77 |
| J | 86.93 | -2.58 | 80.67 | 80.71 | 92 |
| J25G | 84.92 | -17.23 | 75.99 | 77.92 | 103 |
| J50G | 73.11 | -32.96 | 59.0 | 67.58 | 119 |
| J75G | 60.06 | -50.34 | 40.22 | 64.44 | 141 |
| G | 56.21 | -50.44 | 14.04 | 52.36 | 164 |
| G25B | 57.95 | -43.12 | -3.96 | 43.31 | 185 |
| G50B | 60.3 | -33.22 | -28.35 | 43.68 | 220 |
| G75B | 53.27 | -12.42 | -41.26 | 43.1 | 253 |
| B | 46.07 | 1.01 | -41.12 | 41.15 | 271 |
| B25R | 34.63 | 22.38 | -40.91 | 46.64 | 299 |
| B50R | 45.15 | 55.92 | -18.57 | 58.93 | 342 |
| B75R | 51.85 | 65.84 | 12.67 | 67.04 | 11 |

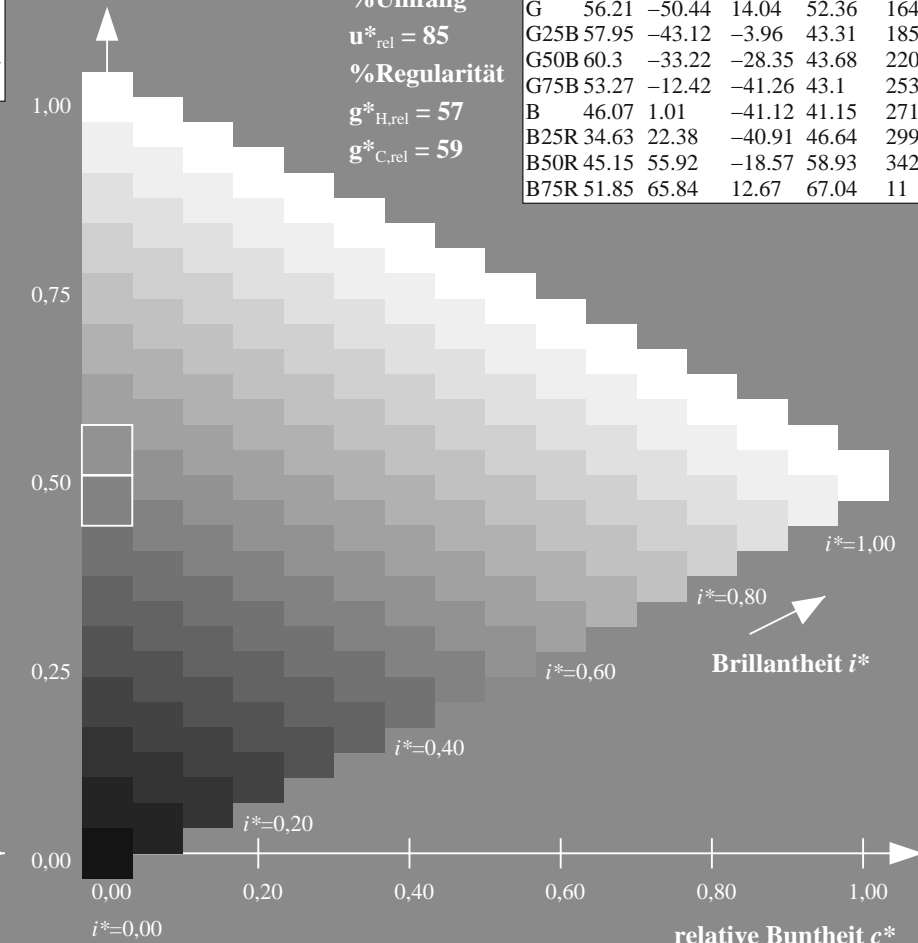
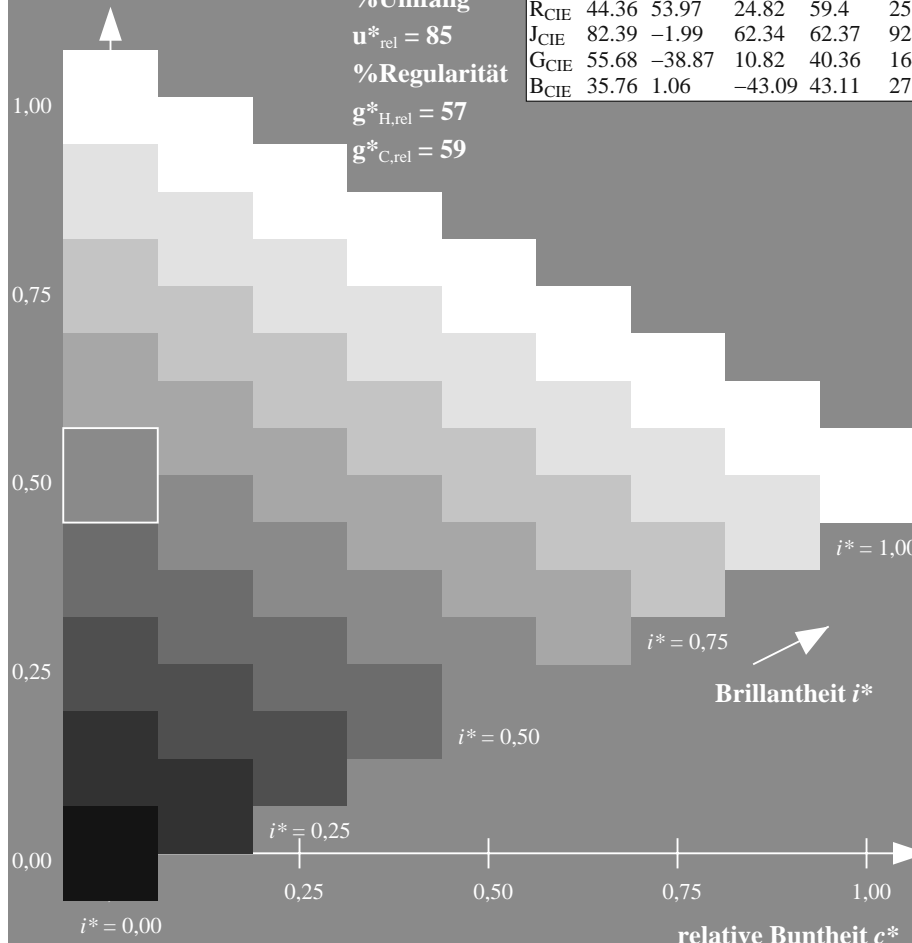
%Umfang

$u^*_{rel} = 85$

%Regularität

$g^*_{H,rel} = 57$

$g^*_{C,rel} = 59$



ZG880-7N, 9stufige Reihen für konstanten CIELAB Buntton 151/360 = 0.419 (links)

Seite 3/10

ZG880-7N, 16stufige Reihen für konstanten CIELAB Buntton 151/360 = 0.419 (rechts)

n

BAM-Prüfvorlage ZG88; Farbmétrik-Systeme, Seite 3/10

D65: 9 und 16stufige Farbreihen für 10 Bunttöne

Eingabe: $rgb / cmy0 set(rgb/cmyk)color$

Ausgabe: $->cmy5* setcmykcolor$

Eingabe: Farbmétrisches Offset-Reflektiv-System ORS18

für Buntton $h^* = lab^*h = 236/360 = 0.656$

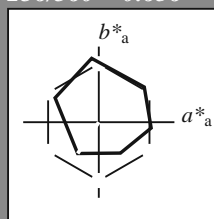
lab^*tch und lab^*nch

D65: Buntton C

LCH*Ma: 62 50 236

olv*Ma: 0.0 1.0 1.0

Dreiecks-Helligkeit t^*



%Umfang

$u^*_{rel} = 85$

%Regularität

$g^*_{H,rel} = 57$

$g^*_{C,rel} = 59$

ORS18; adaptierte CIELAB-Daten

| | $L^*=L^*_a$ | a^*_a | b^*_a | $C^*_{ab,a}$ | $h^*_{ab,a}$ |
|------------------|-------------|---------|---------|--------------|--------------|
| O _{Ma} | 51.74 | 60.16 | 46.48 | 76.02 | 38 |
| Y _{Ma} | 90.77 | -9.44 | 84.41 | 84.94 | 96 |
| L _{Ma} | 54.46 | -57.8 | 32.16 | 66.15 | 151 |
| C _{Ma} | 61.56 | -27.91 | -41.41 | 49.95 | 236 |
| V _{Ma} | 31.3 | 28.61 | -40.85 | 49.88 | 305 |
| M _{Ma} | 51.91 | 69.26 | -7.69 | 69.68 | 354 |
| N _{Ma} | 24.2 | 0.0 | 0.0 | 0.0 | 0 |
| W _{Ma} | 95.41 | 0.0 | 0.0 | 0.0 | 0 |
| R _{CIE} | 44.36 | 53.97 | 24.82 | 59.4 | 25 |
| J _{CIE} | 82.39 | -1.99 | 62.34 | 62.37 | 92 |
| G _{CIE} | 55.68 | -38.87 | 10.82 | 40.36 | 164 |
| B _{CIE} | 35.76 | 1.06 | -43.09 | 43.11 | 271 |

Ausgabe: Farbmétrisches Offset-Reflektiv-System ORS18

für Buntton $h^* = lab^*h = 236/360 = 0.656$

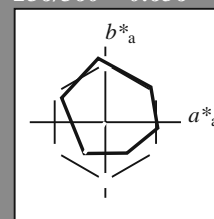
lab^*tch und lab^*nch

D65: Buntton C

LCH*Ma: 62 50 236

olv*Ma: 0.0 1.0 1.0

Dreiecks-Helligkeit t^*



%Umfang

$u^*_{rel} = 85$

%Regularität

$g^*_{H,rel} = 57$

$g^*_{C,rel} = 59$

ORS18; adaptierte CIELAB-Daten

| | $L^*=L^*_a$ | a^*_a | b^*_a | $C^*_{ab,a}$ | $h^*_{ab,a}$ |
|------|-------------|---------|---------|--------------|--------------|
| R | 51.79 | 63.09 | 29.02 | 69.44 | 25 |
| R25J | 53.73 | 56.6 | 48.42 | 74.48 | 41 |
| R50J | 65.47 | 35.67 | 59.82 | 69.65 | 59 |
| R75J | 76.51 | 15.98 | 70.55 | 72.34 | 77 |
| J | 86.93 | -2.58 | 80.67 | 80.71 | 92 |
| J25G | 84.92 | -17.23 | 75.99 | 77.92 | 103 |
| J50G | 73.11 | -32.96 | 59.0 | 67.58 | 119 |
| J75G | 60.06 | -50.34 | 40.22 | 64.44 | 141 |
| G | 56.21 | -50.44 | 14.04 | 52.36 | 164 |
| G25B | 57.95 | -43.12 | -3.96 | 43.31 | 185 |
| G50B | 60.3 | -33.22 | -28.35 | 43.68 | 220 |
| G75B | 53.27 | -12.42 | -41.26 | 43.1 | 253 |
| B | 46.07 | 1.01 | -41.12 | 41.15 | 271 |
| B25R | 34.63 | 22.38 | -40.91 | 46.64 | 299 |
| B50R | 45.15 | 55.92 | -18.57 | 58.93 | 342 |
| B75R | 51.85 | 65.84 | 12.67 | 67.04 | 11 |

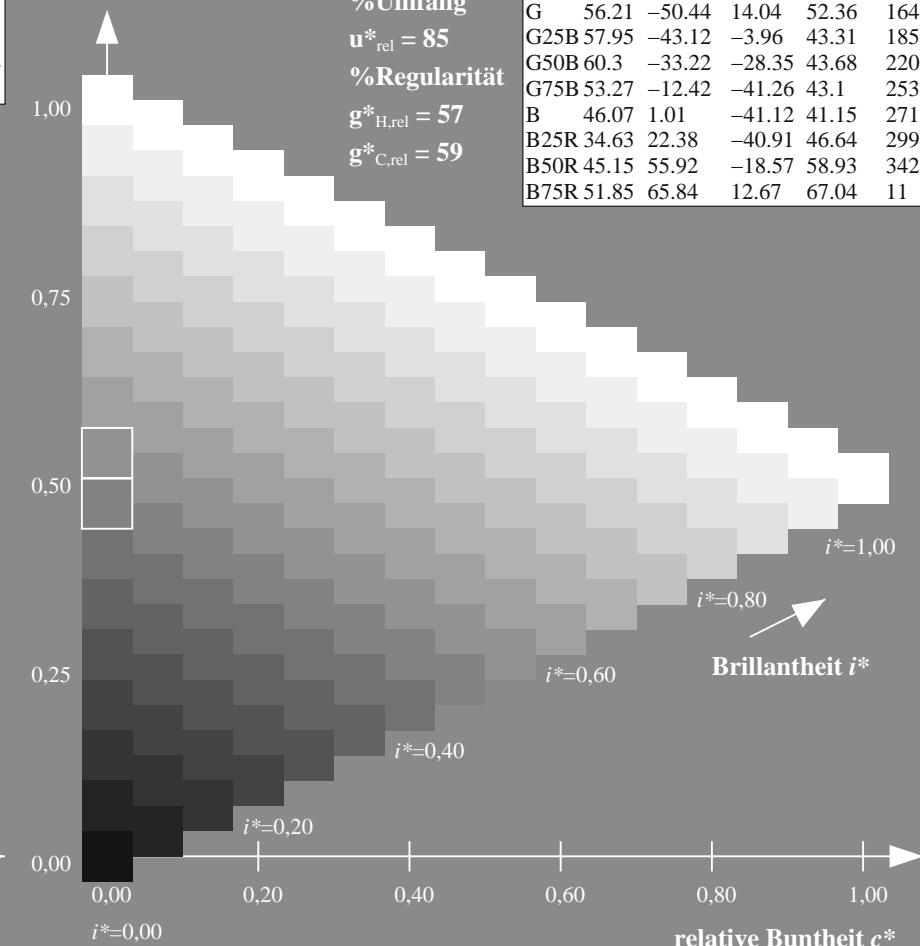
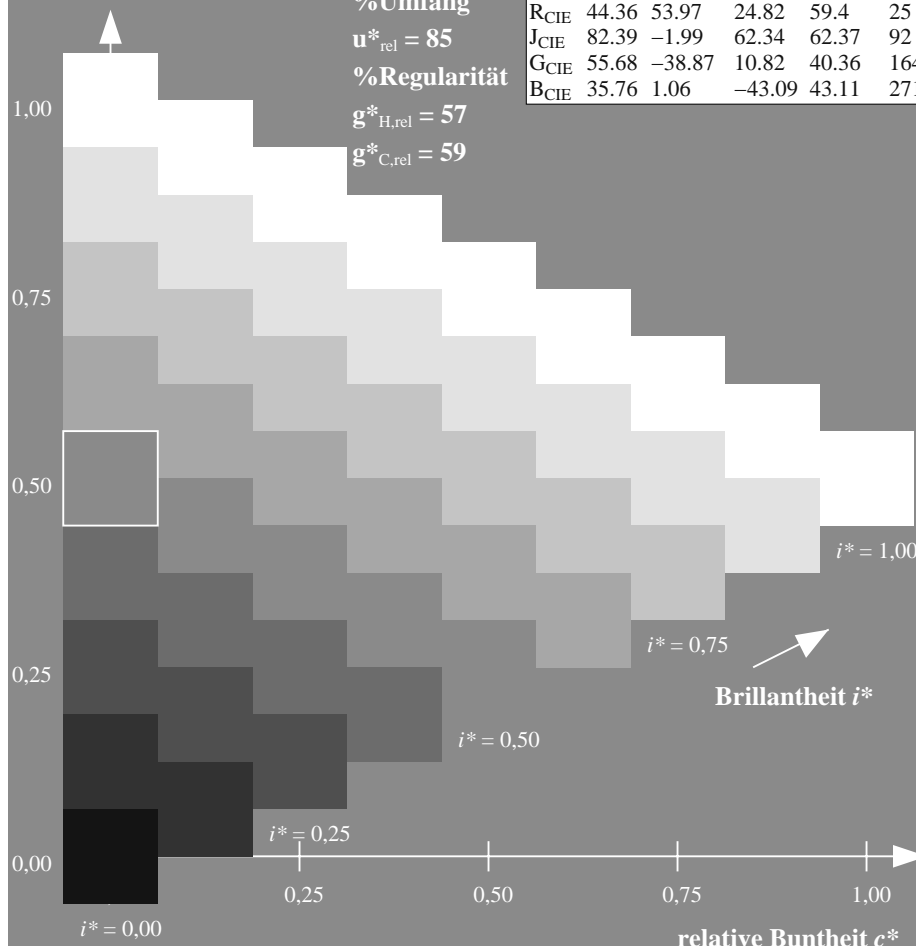
%Umfang

$u^*_{rel} = 85$

%Regularität

$g^*_{H,rel} = 57$

$g^*_{C,rel} = 59$



ZG880-7N, 9stufige Reihen für konstanten CIELAB Buntton 236/360 = 0.656 (links)

Seite 4/10

ZG880-7N, 16stufige Reihen für konstanten CIELAB Buntton 236/360 = 0.656 (rechts)

n

BAM-Prüfvorlage ZG88; Farbmétrik-Systeme, Seite 4/10

D65: 9 und 16stufige Farbreihen für 10 Bunttöne

Eingabe: $rgb / cmy0 set(rgb/cmyk)color$

Ausgabe: $->cmy5* setcmykcolor$

Eingabe: Farbmétrisches Offset-Reflektiv-System ORS18

für Buntton $h^* = lab^*h = 305/360 = 0.847$

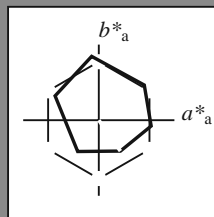
lab^*tch und lab^*nch

D65: Buntton V

LCH*Ma: 31 50 305

olv*Ma: 0.0 0.0 1.0

Dreiecks-Helligkeit t^*



%Umfang

$u^*_{rel} = 85$

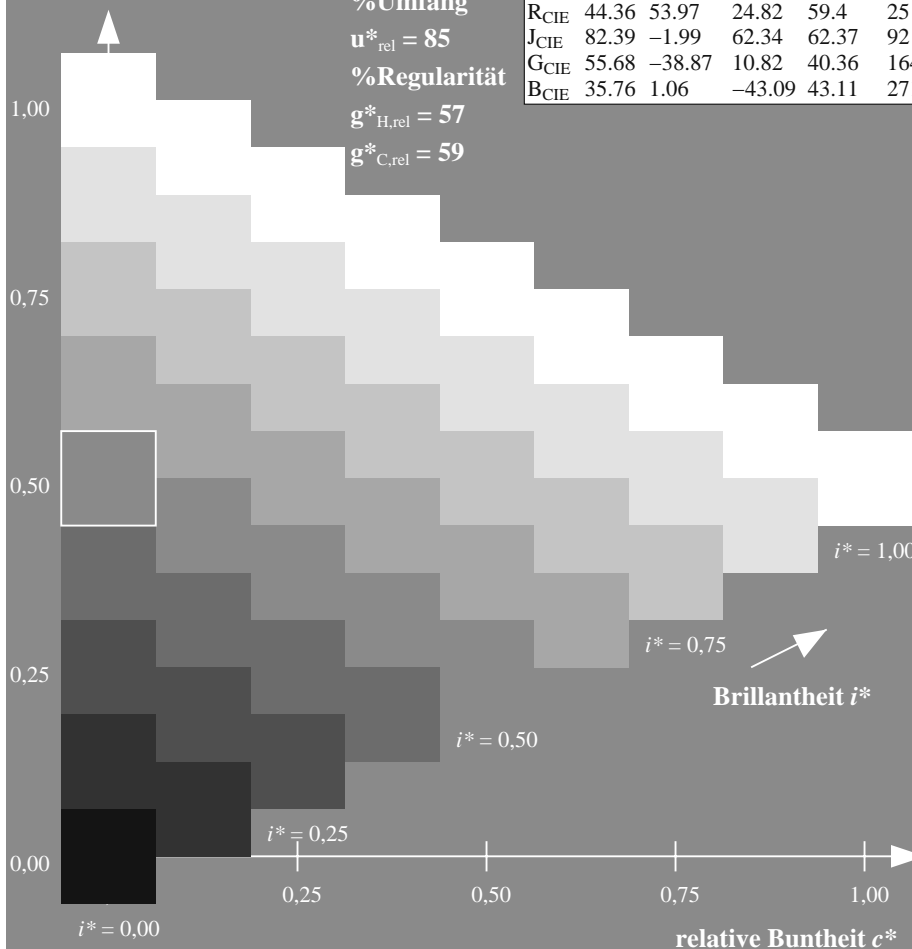
%Regularität

$g^*_{H,rel} = 57$

$g^*_{C,rel} = 59$

ORS18; adaptierte CIELAB-Daten

| | $L^*=L^*_a$ | a^*_a | b^*_a | $C^*_{ab,a}$ | $h^*_{ab,a}$ |
|------------------|-------------|---------|---------|--------------|--------------|
| O _{Ma} | 51.74 | 60.16 | 46.48 | 76.02 | 38 |
| Y _{Ma} | 90.77 | -9.44 | 84.41 | 84.94 | 96 |
| L _{Ma} | 54.46 | -57.8 | 32.16 | 66.15 | 151 |
| C _{Ma} | 61.56 | -27.91 | -41.41 | 49.95 | 236 |
| V _{Ma} | 31.3 | 28.61 | -40.85 | 49.88 | 305 |
| M _{Ma} | 51.91 | 69.26 | -7.69 | 69.68 | 354 |
| N _{Ma} | 24.2 | 0.0 | 0.0 | 0.0 | 0 |
| W _{Ma} | 95.41 | 0.0 | 0.0 | 0.0 | 0 |
| R _{CIE} | 44.36 | 53.97 | 24.82 | 59.4 | 25 |
| J _{CIE} | 82.39 | -1.99 | 62.34 | 62.37 | 92 |
| G _{CIE} | 55.68 | -38.87 | 10.82 | 40.36 | 164 |
| B _{CIE} | 35.76 | 1.06 | -43.09 | 43.11 | 271 |



Ausgabe: Farbmétrisches Offset-Reflektiv-System ORS18

für Buntton $h^* = lab^*h = 305/360 = 0.847$

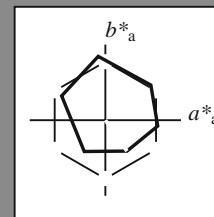
lab^*tch und lab^*nch

D65: Buntton V

LCH*Ma: 31 50 305

olv*Ma: 0.0 0.0 1.0

Dreiecks-Helligkeit t^*



%Umfang

$u^*_{rel} = 85$

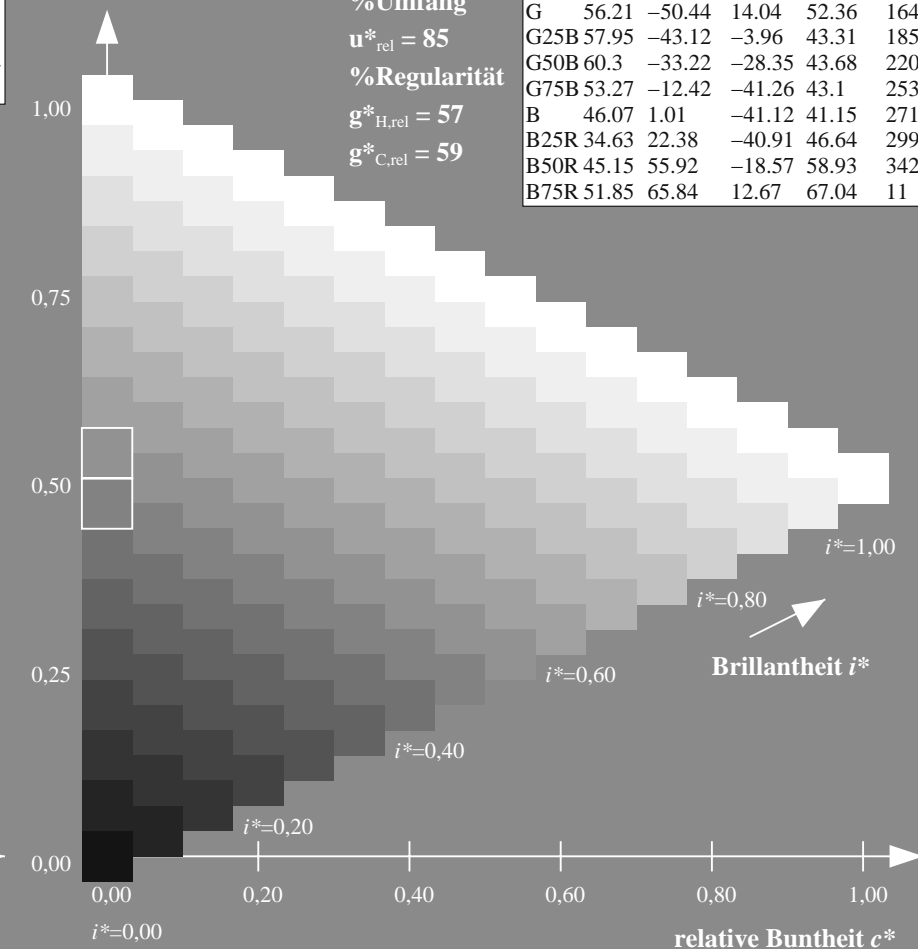
%Regularität

$g^*_{H,rel} = 57$

$g^*_{C,rel} = 59$

ORS18; adaptierte CIELAB-Daten

| | $L^*=L^*_a$ | a^*_a | b^*_a | $C^*_{ab,a}$ | $h^*_{ab,a}$ |
|------|-------------|---------|---------|--------------|--------------|
| R | 51.79 | 63.09 | 29.02 | 69.44 | 25 |
| R25J | 53.73 | 56.6 | 48.42 | 74.48 | 41 |
| R50J | 65.47 | 35.67 | 59.82 | 69.65 | 59 |
| R75J | 76.51 | 15.98 | 70.55 | 72.34 | 77 |
| J | 86.93 | -2.58 | 80.67 | 80.71 | 92 |
| J25G | 84.92 | -17.23 | 75.99 | 77.92 | 103 |
| J50G | 73.11 | -32.96 | 59.0 | 67.58 | 119 |
| J75G | 60.06 | -50.34 | 40.22 | 64.44 | 141 |
| G | 56.21 | -50.44 | 14.04 | 52.36 | 164 |
| G25B | 57.95 | -43.12 | -3.96 | 43.31 | 185 |
| G50B | 60.3 | -33.22 | -28.35 | 43.68 | 220 |
| G75B | 53.27 | -12.42 | -41.26 | 43.1 | 253 |
| B | 46.07 | 1.01 | -41.12 | 41.15 | 271 |
| B25R | 34.63 | 22.38 | -40.91 | 46.64 | 299 |
| B50R | 45.15 | 55.92 | -18.57 | 58.93 | 342 |
| B75R | 51.85 | 65.84 | 12.67 | 67.04 | 11 |



ZG880-7N, 9stufige Reihen für konstanten CIELAB Buntton 305/360 = 0.847 (links)

Seite 5/10

ZG880-7N, 16stufige Reihen für konstanten CIELAB Buntton 305/360 = 0.847 (rechts)

n

BAM-Prüfvorlage ZG88; Farbmétrik-Systeme, Seite 5/10

D65: 9 und 16stufige Farbreihen für 10 Bunttöne

Eingabe: $rgb / cmy0\ set(rgb/cmyk)color$

Ausgabe: $->cmy5*\ setcmykcolor$

Eingabe: Farbmétrisches Offset-Reflektiv-System ORS18

für Buntton $h^* = lab^*h = 354/360 = 0.982$

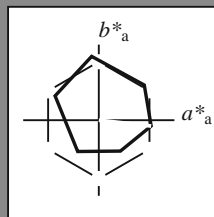
lab^*tch und lab^*nch

D65: Buntton M

LCH*Ma: 52 70 354

olv*Ma: 1.0 0.0 1.0

Dreiecks-Helligkeit t^*



%Umfang

$u^*_{rel} = 85$

%Regularität

$g^*_{H,rel} = 57$

$g^*_{C,rel} = 59$

ORS18; adaptierte CIELAB-Daten

| | $L^*=L^*_a$ | a^*_a | b^*_a | $C^*_{ab,a}$ | $h^*_{ab,a}$ |
|------------------|-------------|---------|---------|--------------|--------------|
| O _{Ma} | 51.74 | 60.16 | 46.48 | 76.02 | 38 |
| Y _{Ma} | 90.77 | -9.44 | 84.41 | 84.94 | 96 |
| L _{Ma} | 54.46 | -57.8 | 32.16 | 66.15 | 151 |
| C _{Ma} | 61.56 | -27.91 | -41.41 | 49.95 | 236 |
| V _{Ma} | 31.3 | 28.61 | -40.85 | 49.88 | 305 |
| M _{Ma} | 51.91 | 69.26 | -7.69 | 69.68 | 354 |
| N _{Ma} | 24.2 | 0.0 | 0.0 | 0.0 | 0 |
| W _{Ma} | 95.41 | 0.0 | 0.0 | 0.0 | 0 |
| R _{CIE} | 44.36 | 53.97 | 24.82 | 59.4 | 25 |
| J _{CIE} | 82.39 | -1.99 | 62.34 | 62.37 | 92 |
| G _{CIE} | 55.68 | -38.87 | 10.82 | 40.36 | 164 |
| B _{CIE} | 35.76 | 1.06 | -43.09 | 43.11 | 271 |

Ausgabe: Farbmétrisches Offset-Reflektiv-System ORS18

für Buntton $h^* = lab^*h = 354/360 = 0.982$

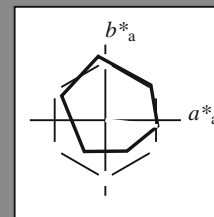
lab^*tch und lab^*nch

D65: Buntton M

LCH*Ma: 52 70 354

olv*Ma: 1.0 0.0 1.0

Dreiecks-Helligkeit t^*



%Umfang

$u^*_{rel} = 85$

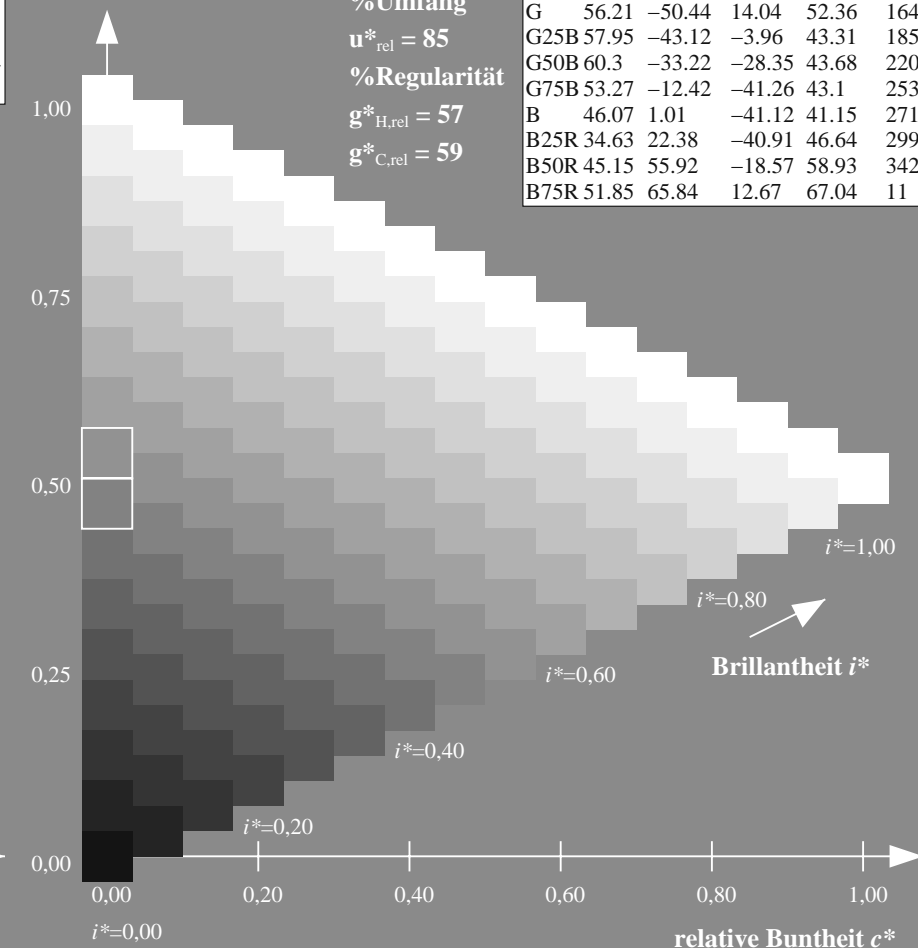
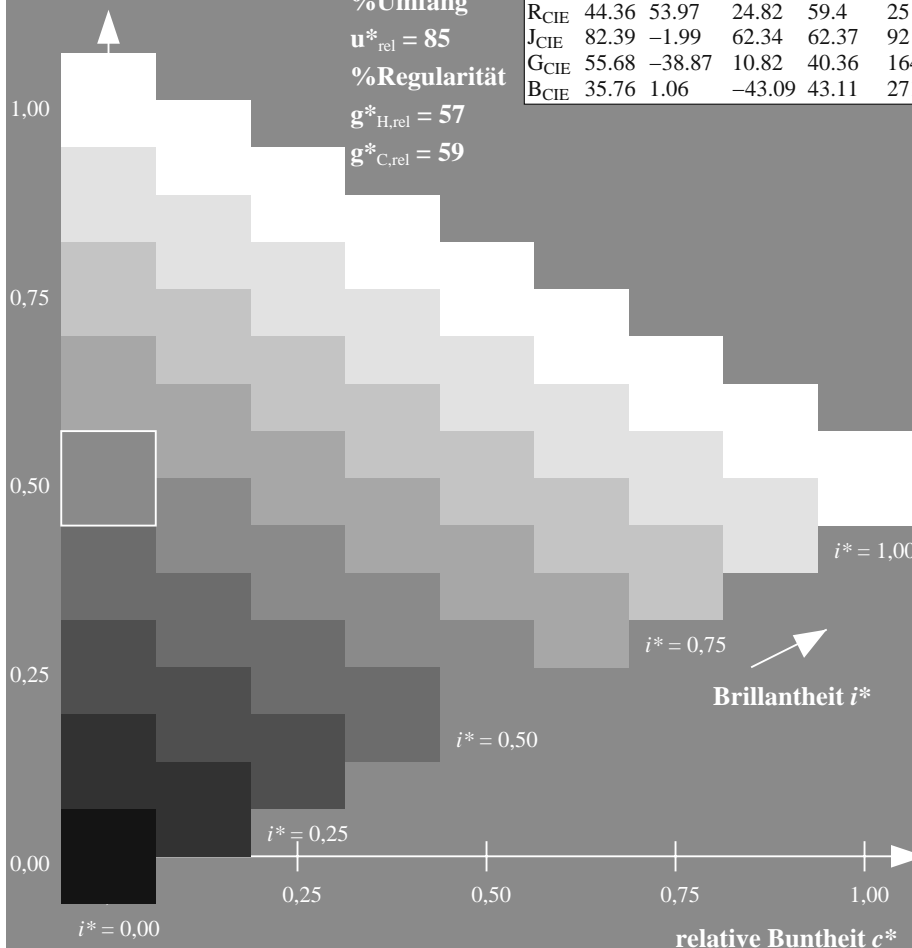
%Regularität

$g^*_{H,rel} = 57$

$g^*_{C,rel} = 59$

ORS18; adaptierte CIELAB-Daten

| | $L^*=L^*_a$ | a^*_a | b^*_a | $C^*_{ab,a}$ | $h^*_{ab,a}$ |
|------|-------------|---------|---------|--------------|--------------|
| R | 51.79 | 63.09 | 29.02 | 69.44 | 25 |
| R25J | 53.73 | 56.6 | 48.42 | 74.48 | 41 |
| R50J | 65.47 | 35.67 | 59.82 | 69.65 | 59 |
| R75J | 76.51 | 15.98 | 70.55 | 72.34 | 77 |
| J | 86.93 | -2.58 | 80.67 | 80.71 | 92 |
| J25G | 84.92 | -17.23 | 75.99 | 77.92 | 103 |
| J50G | 73.11 | -32.96 | 59.0 | 67.58 | 119 |
| J75G | 60.06 | -50.34 | 40.22 | 64.44 | 141 |
| G | 56.21 | -50.44 | 14.04 | 52.36 | 164 |
| G25B | 57.95 | -43.12 | -3.96 | 43.31 | 185 |
| G50B | 60.3 | -33.22 | -28.35 | 43.68 | 220 |
| G75B | 53.27 | -12.42 | -41.26 | 43.1 | 253 |
| B | 46.07 | 1.01 | -41.12 | 41.15 | 271 |
| B25R | 34.63 | 22.38 | -40.91 | 46.64 | 299 |
| B50R | 45.15 | 55.92 | -18.57 | 58.93 | 342 |
| B75R | 51.85 | 65.84 | 12.67 | 67.04 | 11 |



ZG880-7N, 9stufige Reihen für konstanten CIELAB Buntton 354/360 = 0.982 (links)

Seite 6/10

ZG880-7N, 16stufige Reihen für konstanten CIELAB Buntton 354/360 = 0.982 (rechts)

n

BAM-Prüfvorlage ZG88; Farbmétrik-Systeme, Seite 6/10

D65: 9 und 16stufige Farbreihen für 10 Bunttöne

Eingabe: $rgb / cmy0 set(rgb/cmyk)color$

Ausgabe: $-> cmy5* setcmykcolor$

Eingabe: Farbmétrisches Offset-Reflektiv-System ORS18

für Buntton $h^* = lab^*h = 25/360 = 0.069$

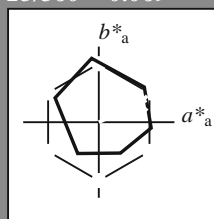
lab^*tch und lab^*nch

D65: Buntton R

LCH*Ma: 52 69 25

olv*Ma: 1.0 0.0 0.32

Dreiecks-Helligkeit t^*



%Umfang

$u^*_{rel} = 85$

%Regularität

$g^*_{H,rel} = 57$

$g^*_{C,rel} = 59$

ORS18; adaptierte CIELAB-Daten

| | $L^*=L^*_a$ | a^*_a | b^*_a | $C^*_{ab,a}$ | $h^*_{ab,a}$ |
|------------------|-------------|---------|---------|--------------|--------------|
| O _{Ma} | 51.74 | 60.16 | 46.48 | 76.02 | 38 |
| Y _{Ma} | 90.77 | -9.44 | 84.41 | 84.94 | 96 |
| L _{Ma} | 54.46 | -57.8 | 32.16 | 66.15 | 151 |
| C _{Ma} | 61.56 | -27.91 | -41.41 | 49.95 | 236 |
| V _{Ma} | 31.3 | 28.61 | -40.85 | 49.88 | 305 |
| M _{Ma} | 51.91 | 69.26 | -7.69 | 69.68 | 354 |
| N _{Ma} | 24.2 | 0.0 | 0.0 | 0.0 | 0 |
| W _{Ma} | 95.41 | 0.0 | 0.0 | 0.0 | 0 |
| R _{CIE} | 44.36 | 53.97 | 24.82 | 59.4 | 25 |
| J _{CIE} | 82.39 | -1.99 | 62.34 | 62.37 | 92 |
| G _{CIE} | 55.68 | -38.87 | 10.82 | 40.36 | 164 |
| B _{CIE} | 35.76 | 1.06 | -43.09 | 43.11 | 271 |

Ausgabe: Farbmétrisches Offset-Reflektiv-System ORS18

für Buntton $h^* = lab^*h = 25/360 = 0.069$

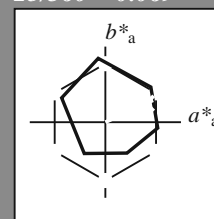
lab^*tch und lab^*nch

D65: Buntton R

LCH*Ma: 52 69 25

olv*Ma: 1.0 0.0 0.32

Dreiecks-Helligkeit t^*



%Umfang

$u^*_{rel} = 85$

%Regularität

$g^*_{H,rel} = 57$

$g^*_{C,rel} = 59$

ORS18; adaptierte CIELAB-Daten

| | $L^*=L^*_a$ | a^*_a | b^*_a | $C^*_{ab,a}$ | $h^*_{ab,a}$ |
|------|-------------|---------|---------|--------------|--------------|
| R | 51.79 | 63.09 | 29.02 | 69.44 | 25 |
| R25J | 53.73 | 56.6 | 48.42 | 74.48 | 41 |
| R50J | 65.47 | 35.67 | 59.82 | 69.65 | 59 |
| R75J | 76.51 | 15.98 | 70.55 | 72.34 | 77 |
| J | 86.93 | -2.58 | 80.67 | 80.71 | 92 |
| J25G | 84.92 | -17.23 | 75.99 | 77.92 | 103 |
| J50G | 73.11 | -32.96 | 59.0 | 67.58 | 119 |
| J75G | 60.06 | -50.34 | 40.22 | 64.44 | 141 |
| G | 56.21 | -50.44 | 14.04 | 52.36 | 164 |
| G25B | 57.95 | -43.12 | -3.96 | 43.31 | 185 |
| G50B | 60.3 | -33.22 | -28.35 | 43.68 | 220 |
| G75B | 53.27 | -12.42 | -41.26 | 43.1 | 253 |
| B | 46.07 | 1.01 | -41.12 | 41.15 | 271 |
| B25R | 34.63 | 22.38 | -40.91 | 46.64 | 299 |
| B50R | 45.15 | 55.92 | -18.57 | 58.93 | 342 |
| B75R | 51.85 | 65.84 | 12.67 | 67.04 | 11 |

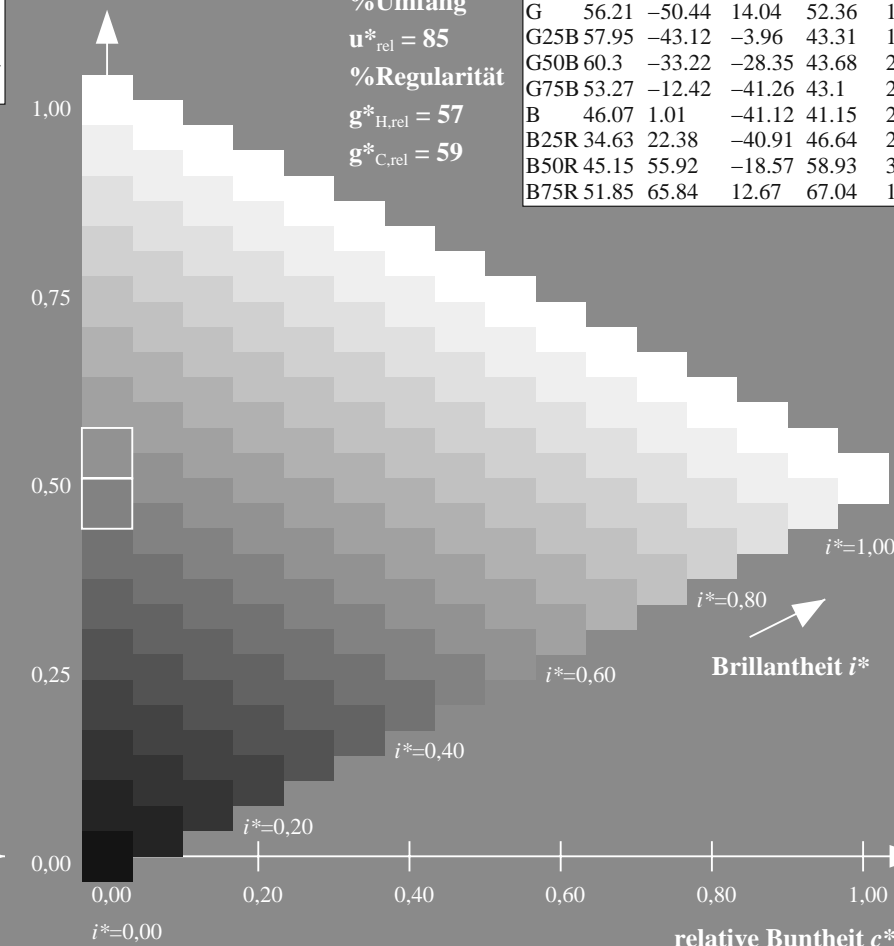
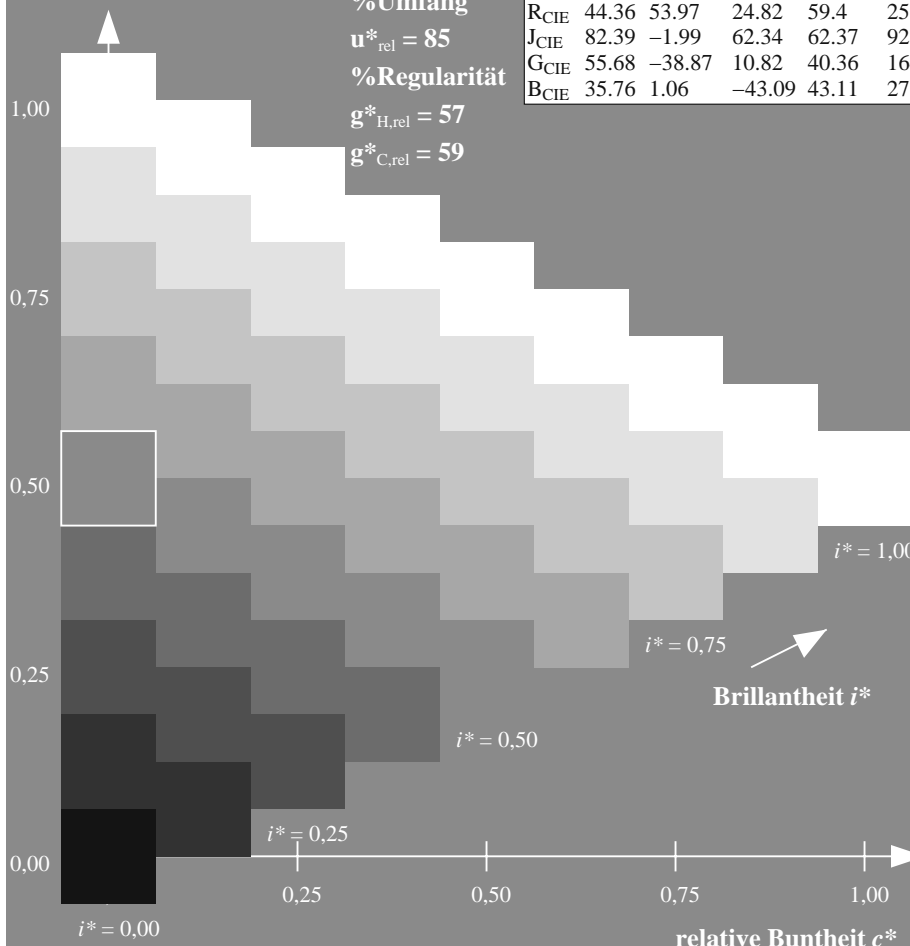
%Umfang

$u^*_{rel} = 85$

%Regularität

$g^*_{H,rel} = 57$

$g^*_{C,rel} = 59$



ZG880-7N, 9stufige Reihen für konstanten CIELAB Buntton 25/360 = 0.069 (links)

Seite 7/10

ZG880-7N, 16stufige Reihen für konstanten CIELAB Buntton 25/360 = 0.069 (rechts)

n

Eingabe: Farbmétrisches Offset-Reflektiv-System ORS18

für Buntton $h^* = lab^*h = 92/360 = 0.255$

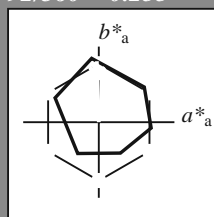
lab^*tch und lab^*nch

D65: Buntton J

LCH*Ma: 87 81 92

olv*Ma: 1.0 0.9 0.0

Dreiecks-Helligkeit t^*



%Umfang

$u^*_{rel} = 85$

%Regularität

$g^*_{H,rel} = 57$

$g^*_{C,rel} = 59$

| ORS18; adaptierte CIELAB-Daten | | | | | |
|--------------------------------|-------------|---------|---------|--------------|--------------|
| | $L^*=L^*_a$ | a^*_a | b^*_a | $C^*_{ab,a}$ | $h^*_{ab,a}$ |
| O _{Ma} | 51.74 | 60.16 | 46.48 | 76.02 | 38 |
| Y _{Ma} | 90.77 | -9.44 | 84.41 | 84.94 | 96 |
| L _{Ma} | 54.46 | -57.8 | 32.16 | 66.15 | 151 |
| C _{Ma} | 61.56 | -27.91 | -41.41 | 49.95 | 236 |
| V _{Ma} | 31.3 | 28.61 | -40.85 | 49.88 | 305 |
| M _{Ma} | 51.91 | 69.26 | -7.69 | 69.68 | 354 |
| N _{Ma} | 24.2 | 0.0 | 0.0 | 0.0 | 0 |
| W _{Ma} | 95.41 | 0.0 | 0.0 | 0.0 | 0 |
| R _{CIE} | 44.36 | 53.97 | 24.82 | 59.4 | 25 |
| J _{CIE} | 82.39 | -1.99 | 62.34 | 62.37 | 92 |
| G _{CIE} | 55.68 | -38.87 | 10.82 | 40.36 | 164 |
| B _{CIE} | 35.76 | 1.06 | -43.09 | 43.11 | 271 |

Ausgabe: Farbmétrisches Offset-Reflektiv-System ORS18

für Buntton $h^* = lab^*h = 92/360 = 0.255$

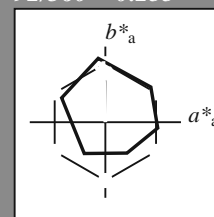
lab^*tch und lab^*nch

D65: Buntton J

LCH*Ma: 87 81 92

olv*Ma: 1.0 0.9 0.0

Dreiecks-Helligkeit t^*



%Umfang

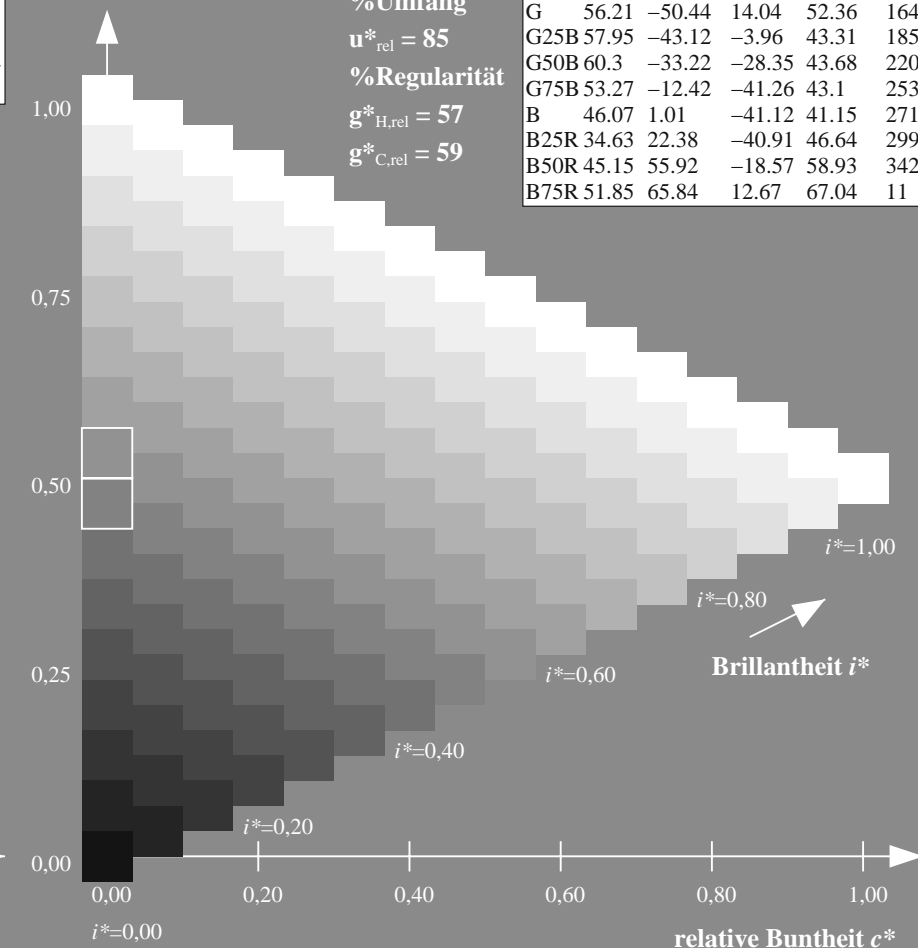
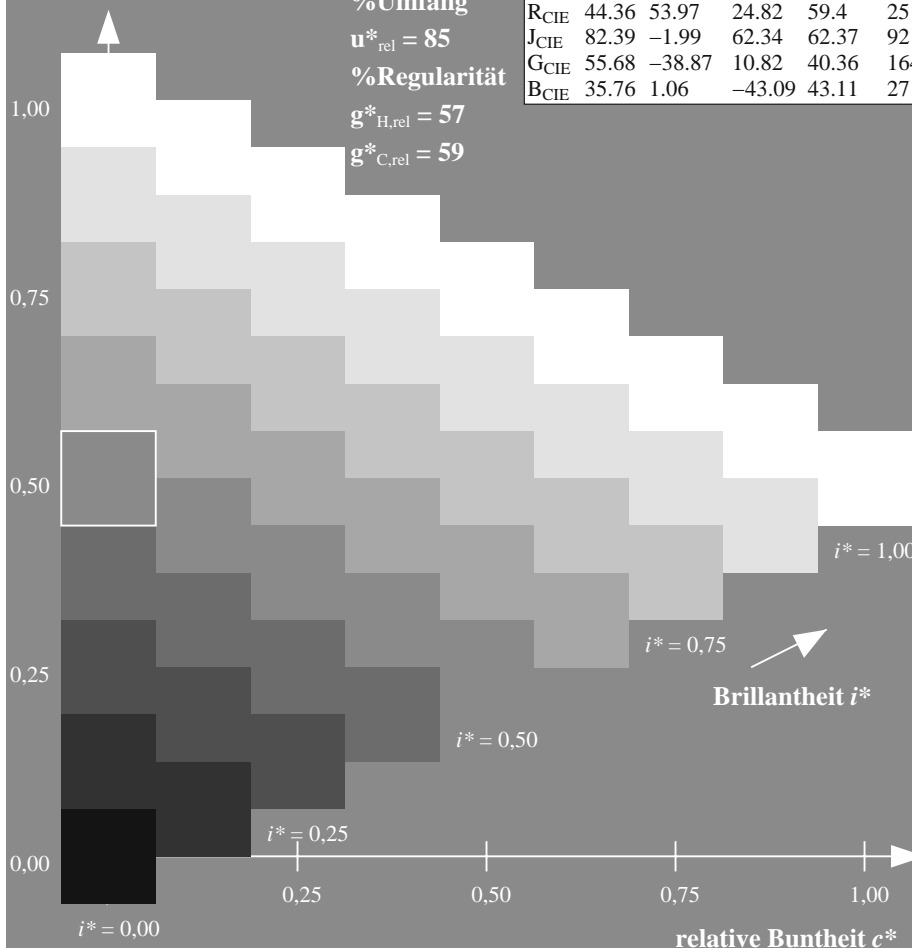
$u^*_{rel} = 85$

%Regularität

$g^*_{H,rel} = 57$

$g^*_{C,rel} = 59$

| ORS18; adaptierte CIELAB-Daten | | | | | |
|--------------------------------|-------------|---------|---------|--------------|--------------|
| | $L^*=L^*_a$ | a^*_a | b^*_a | $C^*_{ab,a}$ | $h^*_{ab,a}$ |
| R | 51.79 | 63.09 | 29.02 | 69.44 | 25 |
| R25J | 53.73 | 56.6 | 48.42 | 74.48 | 41 |
| R50J | 65.47 | 35.67 | 59.82 | 69.65 | 59 |
| R75J | 76.51 | 15.98 | 70.55 | 72.34 | 77 |
| J | 86.93 | -2.58 | 80.67 | 80.71 | 92 |
| J25G | 84.92 | -17.23 | 75.99 | 77.92 | 103 |
| J50G | 73.11 | -32.96 | 59.0 | 67.58 | 119 |
| J75G | 60.06 | -50.34 | 40.22 | 64.44 | 141 |
| G | 56.21 | -50.44 | 14.04 | 52.36 | 164 |
| G25B | 57.95 | -43.12 | -3.96 | 43.31 | 185 |
| G50B | 60.3 | -33.22 | -28.35 | 43.68 | 220 |
| G75B | 53.27 | -12.42 | -41.26 | 43.1 | 253 |
| B | 46.07 | 1.01 | -41.12 | 41.15 | 271 |
| B25R | 34.63 | 22.38 | -40.91 | 46.64 | 299 |
| B50R | 45.15 | 55.92 | -18.57 | 58.93 | 342 |
| B75R | 51.85 | 65.84 | 12.67 | 67.04 | 11 |



ZG880-7N, 9stufige Reihen für konstanten CIELAB Buntton $92/360 = 0.255$ (links)

Seite 8/10

ZG880-7N, 16stufige Reihen für konstanten CIELAB Buntton $92/360 = 0.255$ (rechts)

n

Eingabe: Farbmétrisches Offset-Reflektiv-System ORS18

für Buntton $h^* = lab^*h = 164/360 = 0.457$

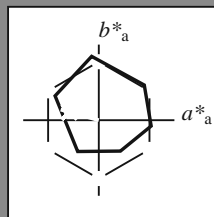
lab^*tch und lab^*nch

D65: Buntton G

LCH*Ma: 56 52 164

olv*Ma: 0.0 1.0 0.25

Dreiecks-Helligkeit t^*



%Umfang

$u^*_{rel} = 85$

%Regularität

$g^*_{H,rel} = 57$

$g^*_{C,rel} = 59$

| ORS18; adaptierte CIELAB-Daten | | | | | |
|--------------------------------|-------------|---------|---------|--------------|--------------|
| | $L^*=L^*_a$ | a^*_a | b^*_a | $C^*_{ab,a}$ | $h^*_{ab,a}$ |
| O _{Ma} | 51.74 | 60.16 | 46.48 | 76.02 | 38 |
| Y _{Ma} | 90.77 | -9.44 | 84.41 | 84.94 | 96 |
| L _{Ma} | 54.46 | -57.8 | 32.16 | 66.15 | 151 |
| C _{Ma} | 61.56 | -27.91 | -41.41 | 49.95 | 236 |
| V _{Ma} | 31.3 | 28.61 | -40.85 | 49.88 | 305 |
| M _{Ma} | 51.91 | 69.26 | -7.69 | 69.68 | 354 |
| N _{Ma} | 24.2 | 0.0 | 0.0 | 0.0 | 0 |
| W _{Ma} | 95.41 | 0.0 | 0.0 | 0.0 | 0 |
| R _{CIE} | 44.36 | 53.97 | 24.82 | 59.4 | 25 |
| J _{CIE} | 82.39 | -1.99 | 62.34 | 62.37 | 92 |
| G _{CIE} | 55.68 | -38.87 | 10.82 | 40.36 | 164 |
| B _{CIE} | 35.76 | 1.06 | -43.09 | 43.11 | 271 |

Ausgabe: Farbmétrisches Offset-Reflektiv-System ORS18

für Buntton $h^* = lab^*h = 164/360 = 0.457$

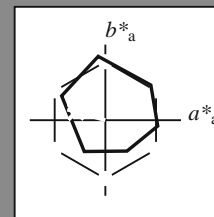
lab^*tch und lab^*nch

D65: Buntton G

LCH*Ma: 56 52 164

olv*Ma: 0.0 1.0 0.25

Dreiecks-Helligkeit t^*



%Umfang

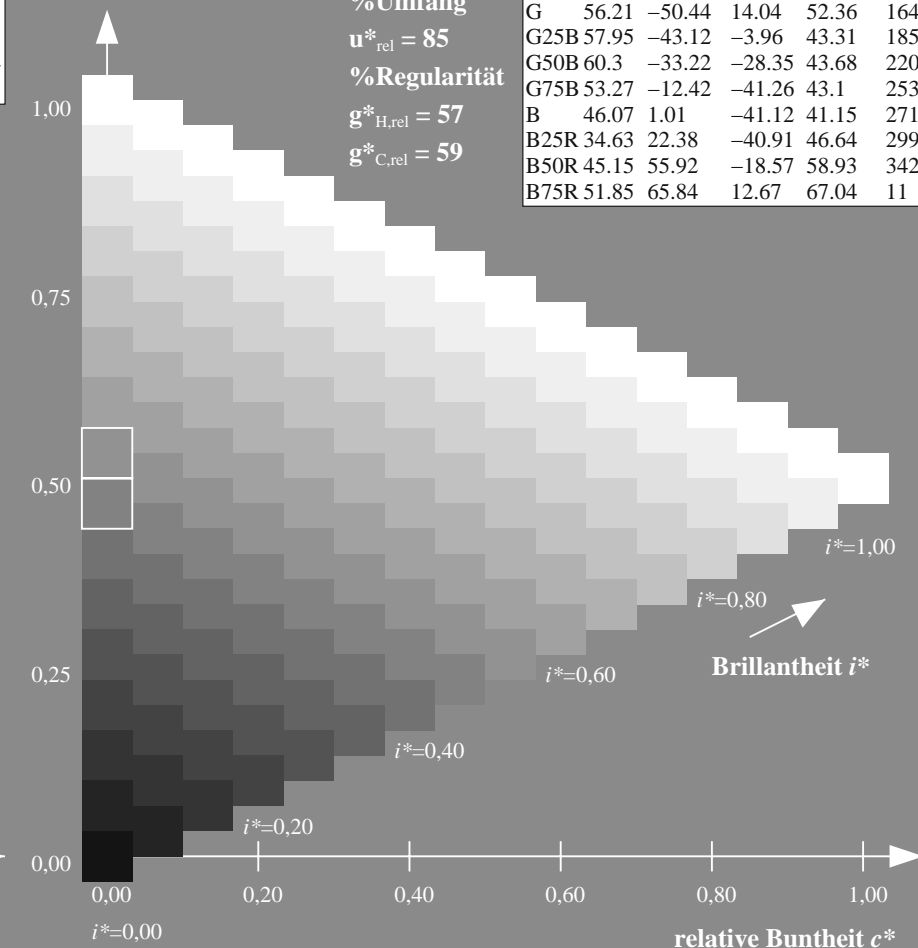
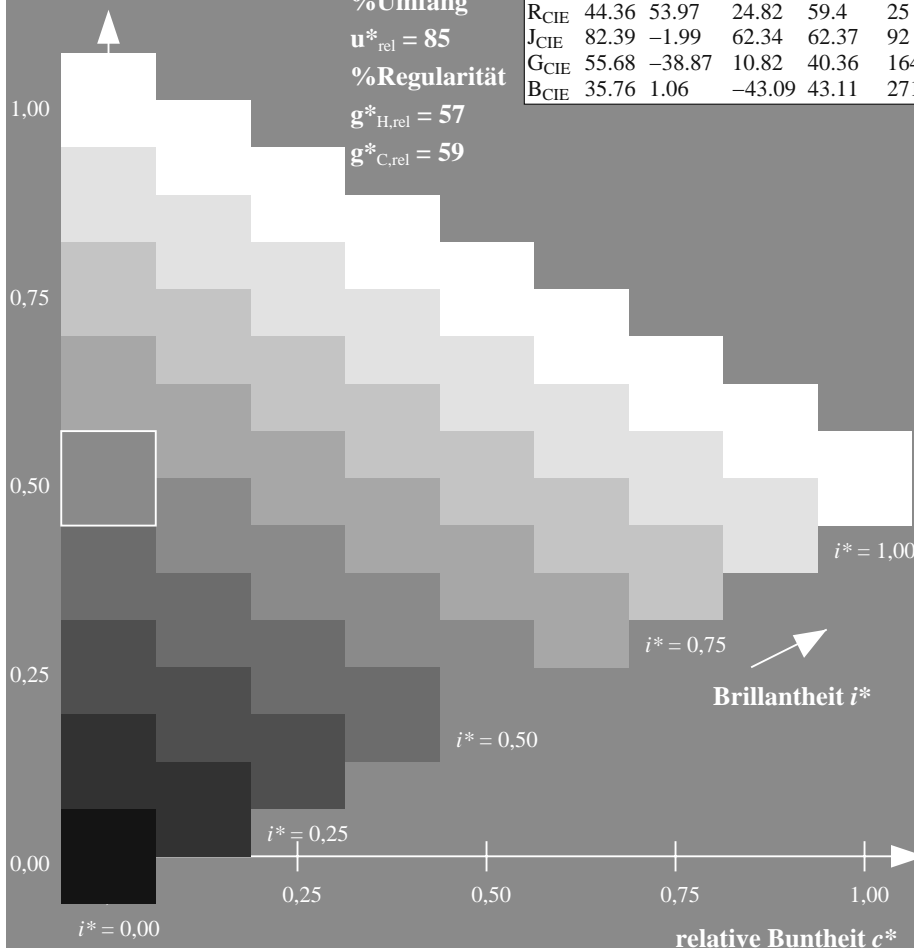
$u^*_{rel} = 85$

%Regularität

$g^*_{H,rel} = 57$

$g^*_{C,rel} = 59$

| ORS18; adaptierte CIELAB-Daten | | | | | |
|--------------------------------|-------------|---------|---------|--------------|--------------|
| | $L^*=L^*_a$ | a^*_a | b^*_a | $C^*_{ab,a}$ | $h^*_{ab,a}$ |
| R | 51.79 | 63.09 | 29.02 | 69.44 | 25 |
| R25J | 53.73 | 56.6 | 48.42 | 74.48 | 41 |
| R50J | 65.47 | 35.67 | 59.82 | 69.65 | 59 |
| R75J | 76.51 | 15.98 | 70.55 | 72.34 | 77 |
| J | 86.93 | -2.58 | 80.67 | 80.71 | 92 |
| J25G | 84.92 | -17.23 | 75.99 | 77.92 | 103 |
| J50G | 73.11 | -32.96 | 59.0 | 67.58 | 119 |
| J75G | 60.06 | -50.34 | 40.22 | 64.44 | 141 |
| G | 56.21 | -50.44 | 14.04 | 52.36 | 164 |
| G25B | 57.95 | -43.12 | -3.96 | 43.31 | 185 |
| G50B | 60.3 | -33.22 | -28.35 | 43.68 | 220 |
| G75B | 53.27 | -12.42 | -41.26 | 43.1 | 253 |
| B | 46.07 | 1.01 | -41.12 | 41.15 | 271 |
| B25R | 34.63 | 22.38 | -40.91 | 46.64 | 299 |
| B50R | 45.15 | 55.92 | -18.57 | 58.93 | 342 |
| B75R | 51.85 | 65.84 | 12.67 | 67.04 | 11 |



ZG880-7N, 9stufige Reihen für konstanten CIELAB Buntton 164/360 = 0.457 (links) Seite 9/10

BAM-Prüfvorlage ZG88; Farbmétrik-Systeme, Seite 9/10
D65: 9 und 16stufige Farbreihen für 10 Bunttöne

ZG880-7N, 16stufige Reihen für konstanten CIELAB Buntton 164/360 = 0.457 (rechts) n

Eingabe: $rgb / cmy0 set(rgb/cmyk)color$
Ausgabe: $-> cmy5* setcmykcolor$

Eingabe: Farbmétrisches Offset-Reflektiv-System ORS18

für Buntton $h^* = lab^*h = 271/360 = 0.754$

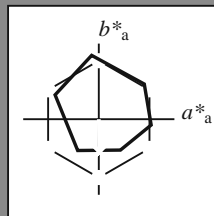
lab^*tch und lab^*nch

D65: Buntton B

LCH*Ma: 46 41 271

olv*Ma: 0.0 0.49 1.0

Dreiecks-Helligkeit t^*



%Umfang

$u^*_{rel} = 85$

%Regularität

$g^*_{H,rel} = 57$

$g^*_{C,rel} = 59$

ORS18; adaptierte CIELAB-Daten

| | $L^*=L^*_a$ | a^*_a | b^*_a | $C^*_{ab,a}$ | $h^*_{ab,a}$ |
|------------------|-------------|---------|---------|--------------|--------------|
| O _{Ma} | 51.74 | 60.16 | 46.48 | 76.02 | 38 |
| Y _{Ma} | 90.77 | -9.44 | 84.41 | 84.94 | 96 |
| L _{Ma} | 54.46 | -57.8 | 32.16 | 66.15 | 151 |
| C _{Ma} | 61.56 | -27.91 | -41.41 | 49.95 | 236 |
| V _{Ma} | 31.3 | 28.61 | -40.85 | 49.88 | 305 |
| M _{Ma} | 51.91 | 69.26 | -7.69 | 69.68 | 354 |
| N _{Ma} | 24.2 | 0.0 | 0.0 | 0.0 | 0 |
| W _{Ma} | 95.41 | 0.0 | 0.0 | 0.0 | 0 |
| R _{CIE} | 44.36 | 53.97 | 24.82 | 59.4 | 25 |
| J _{CIE} | 82.39 | -1.99 | 62.34 | 62.37 | 92 |
| G _{CIE} | 55.68 | -38.87 | 10.82 | 40.36 | 164 |
| B _{CIE} | 35.76 | 1.06 | -43.09 | 43.11 | 271 |

Ausgabe: Farbmétrisches Offset-Reflektiv-System ORS18

für Buntton $h^* = lab^*h = 271/360 = 0.754$

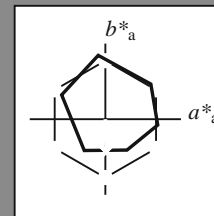
lab^*tch und lab^*nch

D65: Buntton B

LCH*Ma: 46 41 271

olv*Ma: 0.0 0.49 1.0

Dreiecks-Helligkeit t^*



%Umfang

$u^*_{rel} = 85$

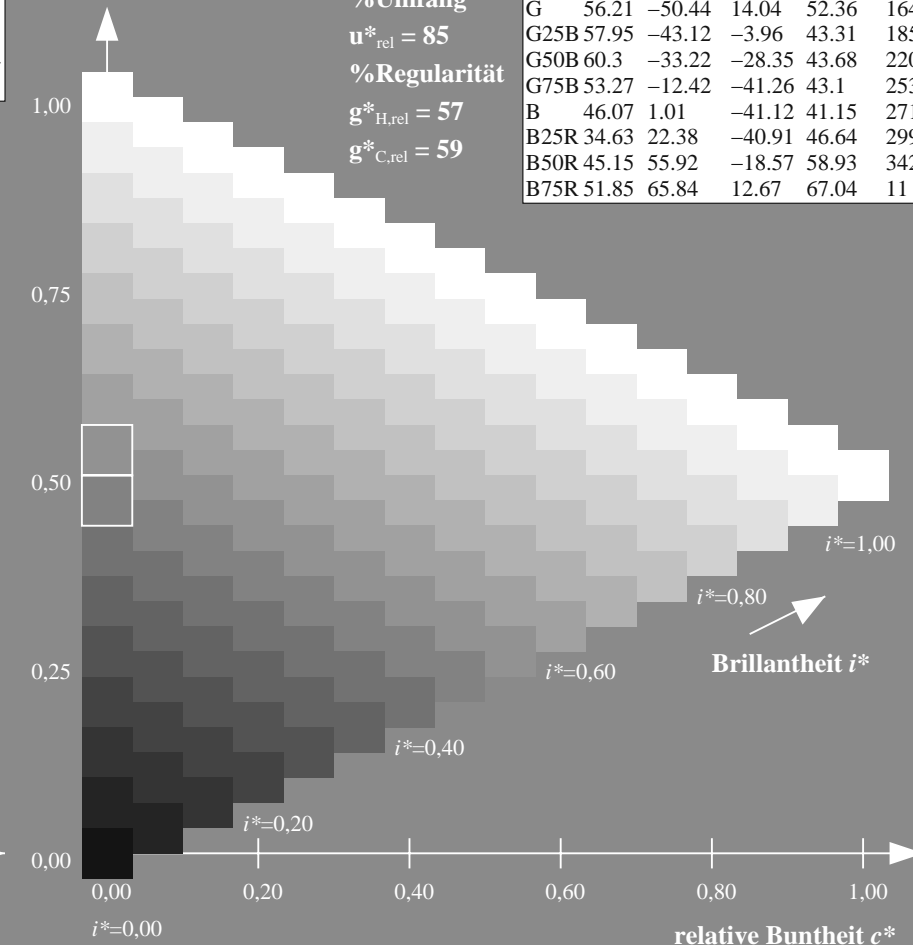
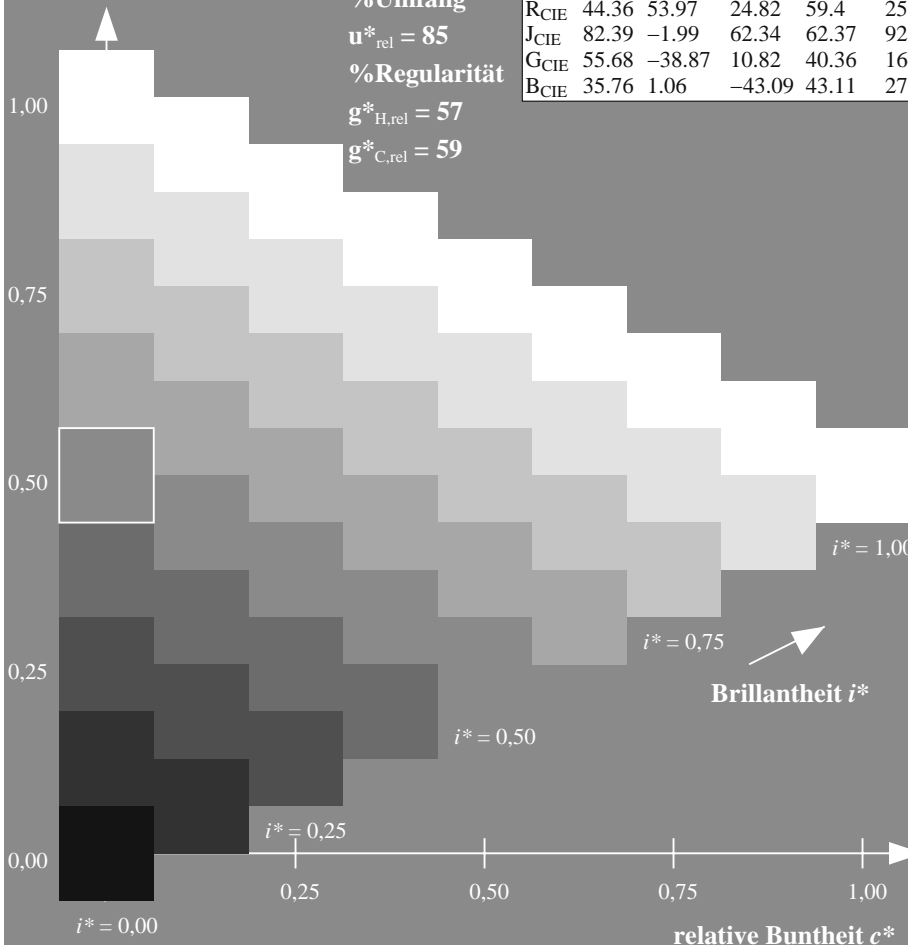
%Regularität

$g^*_{H,rel} = 57$

$g^*_{C,rel} = 59$

ORS18; adaptierte CIELAB-Daten

| | $L^*=L^*_a$ | a^*_a | b^*_a | $C^*_{ab,a}$ | $h^*_{ab,a}$ |
|------|-------------|---------|---------|--------------|--------------|
| R | 51.79 | 63.09 | 29.02 | 69.44 | 25 |
| R25J | 53.73 | 56.6 | 48.42 | 74.48 | 41 |
| R50J | 65.47 | 35.67 | 59.82 | 69.65 | 59 |
| R75J | 76.51 | 15.98 | 70.55 | 72.34 | 77 |
| J | 86.93 | -2.58 | 80.67 | 80.71 | 92 |
| J25G | 84.92 | -17.23 | 75.99 | 77.92 | 103 |
| J50G | 73.11 | -32.96 | 59.0 | 67.58 | 119 |
| J75G | 60.06 | -50.34 | 40.22 | 64.44 | 141 |
| G | 56.21 | -50.44 | 14.04 | 52.36 | 164 |
| G25B | 57.95 | -43.12 | -3.96 | 43.31 | 185 |
| G50B | 60.3 | -33.22 | -28.35 | 43.68 | 220 |
| G75B | 53.27 | -12.42 | -41.26 | 43.1 | 253 |
| B | 46.07 | 1.01 | -41.12 | 41.15 | 271 |
| B25R | 34.63 | 22.38 | -40.91 | 46.64 | 299 |
| B50R | 45.15 | 55.92 | -18.57 | 58.93 | 342 |
| B75R | 51.85 | 65.84 | 12.67 | 67.04 | 11 |



ZG880-7N, 9stufige Reihen für konstanten CIELAB Buntton 271/360 = 0.754 (links) Seite 10/10

ZG880-7N, 16stufige Reihen für konstanten CIELAB Buntton 271/360 = 0.754 (rechts) n